



УДК 532.546; 536.421

# ФИЛЬТРАЦИЯ ЖИДКОСТИ ПРИ НАГРЕВЕ ЭЛЕКТРОМАГНИТНЫМ ИЗЛУЧЕНИЕМ<sup>1</sup>

*У. Р. Ильясов, А. Л. Галеев*

Стерлитамакский Государственный педагогический институт, Стерлитамак

**Аннотация.** Рассмотрены одномерные задачи фильтрации жидкости в пористой среде при электромагнитном воздействии сверхвысокочастотного (СВЧ) диапазона с учетом термического расширения жидкости и фазовых переходов. Получены аналитические решения задач, на основе которых исследовано влияние свойств системы «пористая среда — вода или пар» и параметров внешнего воздействия на гидродинамические и температурные поля.

**Ключевые слова:** фильтрация жидкости, пористая среда, электромагнитное излучение, автомодельное решение

---

## 1 Введение

При интенсивном тепловом воздействии в пористых средах могут реализоваться значительные давления [1, 2]. Использование энергии электромагнитного излучения позволяет осуществить более быстрый и глубокий разогрев материалов, и может использоваться для интенсификации добычи высоковязкой нефти [3], для предупреждения и удаления газогидратных отложений в скважинах и газопроводах [4], а также в других технологических процессах.

## 2 Основные уравнения

Для описания процессов фильтрации и теломассопереноса при СВЧ воздействии на пористую среду, насыщенную жидкостью примем следующие допущения. Температуры пористой среды и насыщающего флюида

---

<sup>1</sup> Работа выполнена при финансовой поддержке Российского фонда фундаментальных исследований (проект № 02-01-97906)

(воды или пара) в каждой точке совпадают. Кроме того, будем полагать, что скелет пористой среды несжимаем и неподвижен, пористость постоянна. Газовая фаза (пар) и пористая среда являются прозрачными для электромагнитного излучения, в тоже время, насыщающая пористую среду жидкость полностью поглощает электромагнитное излучение, причем фазовые превращения происходят в тонком слое на границе фазовых переходов.

В рамках принятых допущений уравнение сохранения массы для воды и пара имеет вид:

$$\frac{\partial(m\rho_i)}{\partial t} + r^{-n} \frac{\partial}{\partial r}(r^n m\rho_i v_i) = 0, \quad (1)$$

где  $m$  — пористость;  $\rho_i (i = l, v, s)$  — плотности фаз;  $v_i (i = l, v, s)$  — скорости фаз. Нижние индексы  $l, v, s$  здесь и в дальнейшем будут относиться соответственно к воде, пару и пористому скелету.

Для фильтрации воды и пара примем закон Дарси:

$$mv_i = -\frac{k}{\mu_i} \frac{\partial p}{\partial r}, \quad (i = l, v), \quad (2)$$

где  $k$  и  $\mu_i$  — коэффициенты абсолютной проницаемости и динамической вязкости фаз.

Для пара примем уравнение Клапейрона–Менделеева, а для воды линейное уравнение состояния:

$$\rho_v = p/R_v T, \quad \rho_l = \rho_{l_0}(1 + \alpha(p - p_0) - \beta(T - T_0)), \quad (\alpha = 1/\rho_{l_0} C_l^2), \quad (3)$$

где  $R_v$  — газовая постоянная;  $\rho_{l_0}$  — истинная плотность воды;  $\alpha$  — коэффициент сжимаемости воды, определяемый скоростью звука в воде  $C_l$  и плотностью воды;  $\beta$  — коэффициент теплового расширения воды. Нижний индекс «0», соответствует значениям параметров для начального невозмущенного состояния в пористой среде.

Уравнение притока тепла, пренебрегая слагаемым, связанным с баротермическим эффектом, запишем в виде:

$$\rho c \frac{\partial T}{\partial t} + m\rho_i c_i v_i \frac{\partial T}{\partial t} = r^{-n} \frac{\partial}{\partial r} \left( r^n \lambda \frac{\partial T}{\partial t} \right), \quad (4)$$

$$\rho c = m\rho_i c_i + (1 - m)\rho_s c_s, \quad \lambda = m\lambda_i + (1 - m)\lambda_s, \quad (i = l, v).$$

Здесь  $\rho c$  — удельно-объемная теплоемкость системы «пористая среда — пар или вода»;  $c_i, \lambda_i, (i = l, v)$  — удельная теплоемкость фаз и коэффициент теплопроводности фаз;  $\lambda$  — коэффициент теплопроводности системы «пористая среда — пар или вода». Поскольку на значения  $\rho c$  и  $\lambda$  основной вклад вносят параметры скелета пористой среды, то во всей зоне фильтрации (в зоне фильтрации пара и воды) будем их полагать постоянными ( $\rho c = \text{const}, \lambda = \text{const}$ ).

Приведенные выше уравнения необходимо дополнить соотношениями на поверхности фазового перехода ( $r = r_{(s)}$ ), которые следуют из закона сохранения массы и из условия теплового баланса:

$$\rho_l(v_l - \dot{r}_{(s)}) = \rho_v(v_v - \dot{r}_{(s)}), \quad (5)$$

$$\left(\lambda \frac{\partial T}{\partial r}\right)^+ - \left(\lambda \frac{\partial T}{\partial r}\right)^- + Q = ml\rho_l(\dot{r}_{(s)} - v_l), \quad \left(\dot{r}_{(s)} = \frac{dr_{(s)}}{dt}\right),$$

где  $l$  — удельная теплота фазового перехода,  $Q$  — выделение тепла на границе фазовых превращений. Нижний индекс « $(s)$ » соответствует значениям параметров на границе фазовых переходов. Знаки « $+$ » и « $-$ » соответствуют параметрам перед фронтом и за фронтом фазовых переходов. На этой поверхности температура и давление полагаются непрерывными:

$$T^- = T^+ = T_{(s)}, \quad p^- = p^+ = p_{(s)}.$$

Кроме того, на поверхности фазового перехода температура  $T_{(s)}$  и давление  $p_{(s)}$  связаны уравнением:

$$T_{(s)} = T_* \ln^{-1}(p_*/p_{(s)}), \quad (6)$$

где  $T_*$  и  $p_*$  — эмпирические параметры, определяемые на основе табличных данных.

Вследствие того, коэффициент температуропроводности обычно на много порядков ниже, чем коэффициент пьезопроводности и следовательно, волна фильтрации распространяется значительно быстрее, чем температурная волна, в зоне фильтрации пара между границей пористой среды и фронтом фазовых переходов ( $0 < r < r_{(s)}$ ) естественно предположить условие однородности давления.

На границе пористой среды положим

$$\frac{\partial T(0, t)}{\partial r} = 0.$$

Это условие обосновано в [5], где впервые получено решение уравнения теплопроводности при электромагнитном нагреве сред.

### 3 Плоско-одномерная задача

Будем полагать, что на границе пористой среды ( $r = 0$ ) имеется источник излучения постоянной мощности  $q$ , при этом на границе поддерживается давление  $p_e$  ( $p_e \geq p_0$ ). В зависимости от значений параметров  $q$  и  $p_e$  на этой границе может происходить отбор или нагнетание пара.

Начальные и граничные условия можно записать в виде:

$$p = p_0, \quad T = T_0, \quad (r > 0, t = 0), \quad \frac{\partial p}{\partial r} = 0, \quad \frac{\partial T}{\partial r} = 0, \quad (r = 0, t > 0). \quad (7)$$

Уравнения тепло- и пьезопроводности запишутся в виде:

$$p = p_e, \quad T = T_e, \quad (0 < r < r_{(s)}), \quad (8)$$

$$\frac{\partial \rho_l}{\partial t} = \frac{\partial}{\partial r} \left( \frac{k}{m\mu_l} \rho_l \frac{\partial p}{\partial r} \right), \quad \rho c \frac{\partial T}{\partial t} = \lambda \frac{\partial^2 T}{\partial r^2}, \quad (r_{(s)} < r < \infty). \quad (9)$$

Будем полагать, что граница фазовых переходов движется с постоянной скоростью ( $\dot{r}_{(s)} = v = \text{const}$ ) и будем искать автомодельное решение в виде бегущей волны. Введем безразмерные давление, температуру и автомодельную переменную:

$$P = p/p_0, \quad \Theta = T/T_0, \quad \tilde{\rho} = \rho_l/\rho_{l0} = 1 + \tilde{\alpha}(P - 1) - \tilde{\beta}(\Theta - 1), \quad \xi = r - vt. \quad (10)$$

Тогда уравнения тепло- и пьезопроводности можно записать в виде:

$$P = P_e, \quad \Theta = \Theta_e, \quad (0 < \xi < \xi_{(s)}), \quad (11)$$

$$\frac{d^2 P}{d\xi^2} = -\frac{v}{\kappa^{(p)}} \frac{d\tilde{\rho}}{d\xi}, \quad \frac{d^2 \Theta}{d\xi^2} = -\frac{v}{\kappa^{(T)}} \frac{d\Theta}{d\xi}, \quad (\xi_{(s)} < \xi < \infty) \quad (12)$$

Важной характеристикой процесса является количество извлекаемого пара, расход которого, а также скорость движения границы фазовых

переходов можно найти из условий (12). Запишем условие баланса массы в следующем виде:

$$Q_m = m\rho_v\dot{x}_{(s)} + m\rho_l(v_l - \dot{x}_{(s)}), \quad (13)$$

где  $Q_m = m\rho_v v_v$  массовый расход извлекаемого или закачиваемого пара.

Запишем условие баланса тепла (5) и выражение (13), перейдя к автомодельной переменной:

$$Q_m = m\rho_v v - m\rho_l \left( v + \kappa^{(p)} \left( \frac{dP}{d\xi} \right)^+ \right), \quad (14)$$

$$\left( \frac{d\Theta}{d\xi} \right)^+ = \tilde{q}^{(0)} - \frac{m l \rho_l}{\lambda T_0} \left( v + \kappa^{(p)} \left( \frac{dP}{d\xi} \right)^+ \right),$$

$$\Theta_{(s)} = \Theta_* \ln^{-1}(P_*/P_{(s)}). \quad (15)$$

Безразмерные коэффициенты в уравнениях (10)–(15) имеют вид:

$$\kappa^{(p)} = \frac{k p_0}{m \mu_l}, \quad \kappa^{(T)} = \frac{\lambda}{\rho c}, \quad P_* = \frac{p_*}{p_0}, \quad \Theta_* = \frac{T_*}{T_0}, \quad \tilde{q}^{(0)} = \frac{q}{\lambda T_0}.$$

Из начальных и граничных условий (7) следует:

$$P = P_e, \quad \Theta = \Theta_e, \quad (\xi = 0), \quad P = 1, \quad \Theta = 1, \quad (\xi \rightarrow \infty). \quad (16)$$

Решения уравнений тепло- и пьезопроводности в области фильтрации жидкости можно записать в виде:

$$P = 1 + \left( P_{(s)} - 1 - \tilde{\beta} \frac{(\Theta_{(s)} - 1)}{(\tilde{\alpha} - \eta)} \right) \exp\left( - \frac{v \tilde{\alpha}}{\kappa^{(p)}} \xi \right) + \tilde{\beta} \frac{(\Theta_{(s)} - 1)}{(\tilde{\alpha} - \eta)} \exp\left( - \frac{v}{\kappa^{(T)}} \xi \right), \quad (17)$$

$$\Theta = 1 + (\Theta_{(s)} - 1) \exp\left( - \frac{v}{\kappa^{(T)}} \xi \right), \quad \eta = \frac{\kappa^{(p)}}{\kappa^{(T)}}.$$

Подставляя решения уравнений тепло- и пьезопроводности в условия (14), получим выражения для определения массового расхода пара и скорости фильтрации границы фазовых переходов:

$$Q_m = m v (\rho_v + \rho_l (\tilde{\rho}_l - 2)), \quad v = \frac{q}{\rho c (T_{(s)} - T_0) + m l \rho_l (2 - \tilde{\rho}_l)}, \quad (18)$$

$$(\tilde{\rho}_l = \rho_l / \rho_{l_0}).$$

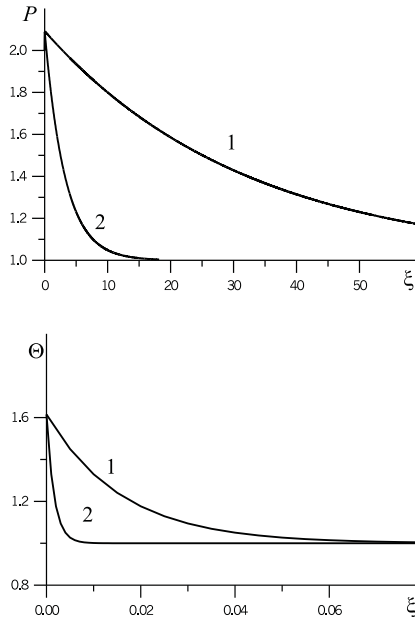


Рис. 1: Структура зоны фильтрации перед границей фазовых переходов при различной мощности источника излучения. Линия 1:  $q = 10^4$  Вт/м, линия 2:  $q = 10^5$  Вт/м

На Рис. 1. представлена структура зоны фильтрации и теплопереноса перед границей фазовых переходов при различной мощности СВЧ излучения. Здесь линии 1 и 2 соответствуют мощности излучения  $10^4$  и  $10^5$  Вт/м. Для параметров, определяющих исходное состояние насыщенной пористой среды, приняты следующие значения:  $p_0 = 1$  МПа,  $T_0 = 300$  К,  $k = 10^{-16}$  м<sup>2</sup>; давление, поддерживаемое на границе пористой среды  $p_e = 2$  МПа. Из Рис. 1. видно, что при большей мощности излучения (линия 2) характерная глубина проникновения фильтрационной и температурной волны перед фронтом испарения меньше, чем при более слабом источнике излучения (линия 1). Это связано с тем, что при более мощном источнике процесс испарения пластовой воды происходит более интенсивно и граница фазовых переходов движется с большей скоростью,  $v_1 = 1.4 \cdot 10^{-5}$  м/с и  $v_2 = 1.4 \cdot 10^{-4}$  м/с, при этом для массового расхода пара имеем:  $q_{m1} = 2.7 \cdot 10^{-3}$  кг/м<sup>2</sup>с и  $q_{m2} = 2.7 \cdot 10^{-2}$  кг/м<sup>2</sup>с.

Зависимости количества получаемого пара  $q_m$  и скорости движения границы фазовых переходов  $v$  от давления на границе пористой среды  $p_e$  при различной мощности СВЧ излучения показана на Рис. 2. для

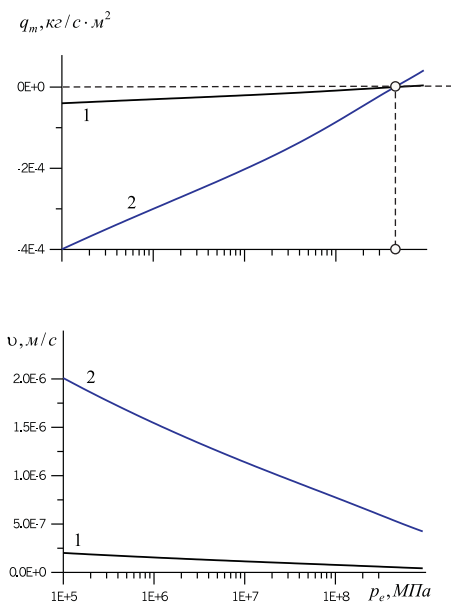


Рис. 2: Зависимость количества извлекаемого пара и скорости фильтрации границы фазового перехода от давления на границе пористой среды. Линия 1:  $q = 10^2$  Вт/м, линия 2:  $q = 10^3$  Вт/м

высокопроницаемой пористой среды  $k = 10^{-12}$  м<sup>2</sup>. Исходные параметры пористой среды:  $p_0 = 0.1$  МПа,  $T_0 = 300$  К. Линии 1 и 2 соответствуют мощности излучения  $10^2$  и  $10^3$  Вт/м<sup>2</sup>. Из Рис. 2. видно, что при значении давления на границе пласта  $p_e \approx 400$  МПа, независимо от мощности излучения, массовый расход пара через границу пористой среды становится равным нулю, что соответствует случаю непроницаемой границы. При дальнейшем увеличении граничного давления будет происходить нагнетание пара в пористую среду.

#### 4 Радиально-симметричная задача

Будем полагать, что пористая среда облучается через непроницаемую для воды или пара границу. В этом случае начальные и граничные условия можно записать в виде:

$$p = p_0, \quad T = T_0, \quad (r > 0, t = 0), \quad q_m = 0, \quad \frac{\partial T}{\partial r} = 0, \quad (r \rightarrow 0, t > 0), \quad (19)$$

где  $q_m$  — массовый расход через границу среды.

В рамках такой постановки задача также является автомодельной. Введем автомодельную переменную и безразмерные параметры:

$$P = p/p_0, \quad \Theta = T/T_0, \quad \tilde{\rho} = \rho_l/\rho_{l_0} = 1 + \tilde{\alpha}(P - 1) - \tilde{\beta}(\Theta - 1), \quad (20)$$

$$\xi = r/2\sqrt{\kappa^{(T)}t}, \quad (\kappa^{(T)} = \lambda/\rho c).$$

Тогда уравнения тепло- и пьезопроводности можно записать в виде:

$$P = P_e, \quad \Theta = \Theta_e, \quad (0 < \xi < \xi_{(s)}), \quad (21)$$

$$\eta \frac{1}{\xi} \frac{d}{d\xi} \left( \xi \tilde{\rho} \frac{dP}{d\xi} \right) = -2\xi \frac{d\tilde{\rho}}{d\xi}, \quad \frac{1}{\xi} \frac{d}{d\xi} \left( \xi \frac{d\Theta}{d\xi} \right) = -2\xi \frac{d\Theta}{d\xi}, \quad (\xi_{(s)} < \xi < \infty). \quad (22)$$

При этом на границе фазовых переходов ( $\xi = \xi_{(s)}$ ) имеем:

$$\left( \frac{dP}{d\xi} \right)^+ = -\frac{2\xi_{(s)}}{\eta} (1 - \tilde{\rho}_{(s)}), \quad \left( \frac{d\Theta}{d\xi} \right)^+ = -\left( \frac{\tilde{q}^{(1)}}{\xi_{(s)}} - 2\xi_{(s)} \frac{m\tilde{\rho}_l\tilde{\rho}_{(s)}}{Ja} \right), \quad (23)$$

здесь  $\eta = \kappa^{(p)}/\kappa^{(T)}$ ,  $\tilde{q}^{(1)} = q/2\pi\lambda T_0$ ,  $\tilde{\rho}_{(s)} = \rho_{v(s)}/\rho_l$ ,  $\tilde{\rho}_l = \rho_l/\rho$ .

Из начальных и граничных условий (7) следует:

$$P = P_{(s)}, \quad \Theta = \Theta_{(s)}, \quad (\xi \rightarrow 0), \quad P = 1, \quad \Theta = 1, \quad (\xi \rightarrow \infty). \quad (24)$$

Решение системы (22) можно записать в виде:

$$P = 1 + \left( P_{(s)} - 1 - \frac{\psi(\Theta_{(s)} - 1)}{2(\varphi - 1)} \right) \frac{\int_{\xi_{(s)}}^{\infty} \xi^{-n} \exp(-\varphi\xi^2) d\xi}{\int_{\xi_{(s)}}^{\infty} \xi^{-n} \exp(-\varphi\xi^2) d\xi} +$$

$$+ \frac{\psi(\Theta_{(s)} - 1)}{2(\varphi - 1)} \frac{\int_{\xi_{(s)}}^{\infty} \xi^{-n} \exp(-\xi^2) d\xi}{\int_{\xi_{(s)}}^{\infty} \xi^{-n} \exp(-\xi^2) d\xi}, \quad (25)$$

$$\Theta = 1 + (\Theta_{(s)} - 1) \frac{\int_{\xi_{(s)}}^{\infty} \xi^{-n} \exp(-\xi^2) d\xi}{\int_{\xi_{(s)}}^{\infty} \xi^{-n} \exp(-\xi^2) d\xi}, \quad \varphi = \frac{\tilde{\alpha}}{\eta}, \quad \psi = \frac{\tilde{\beta}}{\eta}.$$



Подставляя решения (25) в условия (23) получим уравнения для определения  $P_{(s)}$ ,  $\Theta_{(s)}$ ,  $\xi_{(s)}$ .

$$\begin{aligned} & \left( P_{(s)} - 1 - \frac{\psi(\Theta_{(s)} - 1)}{2(\varphi - 1)} \right) \frac{\exp(-\varphi\xi_{(s)}^2)}{\int_{\xi_{(s)}}^{\infty} \xi^{-1} \exp(-\varphi\xi^2) d\xi} + \\ & + \frac{\psi(\Theta_{(s)} - 1)}{2(\varphi - 1)} \frac{\exp(-\xi_{(s)}^2)}{\int_{\xi_{(s)}}^{\infty} \xi^{-1} \exp(-\xi^2) d\xi} = \frac{2\xi_{(s)}^2}{\eta} (1 - \tilde{\rho}_{(s)}), \end{aligned} \quad (26)$$

$$\frac{(\Theta_{(s)} - 1) \exp(-\xi_{(s)}^2)}{\int_{\xi_{(s)}}^{\infty} \xi^{-1} \exp(-\xi^2) d\xi} - \tilde{q}^{(1)} = -2\xi_{(s)}^2 \frac{m\tilde{\rho}_l\tilde{\rho}_{(s)}}{Ja}.$$

На Рис. 3. приведено сравнение профилей давления и температуры в слабопроницаемой пористой среде ( $k = 10^{-14} \text{ м}^2$ ), соответствующих случаю СВЧ источника излучения (сплошные линии) и теплового источника на границе пористой среды (штриховые линии) [3], насыщенной жидкостью с температурой  $T_0 = 300 \text{ К}$  и при давлении  $p_0 = 0.1 \text{ МПа}$ . Мощность теплового и СВЧ источника  $q = 10^4 \text{ Вт/м}$ . Как видно из Рис. 3. в случае воздействия на пористую среду источником СВЧ излучения происходит значительная интенсификация процессов фильтрации. Это связано с тем, что по данным [3], в случае теплового источника на границе среды значительная часть подводимой энергии расходуется на перегрев ближней зоны, насыщенной паром. В случае СВЧ источника на границе пласта, основная часть излучаемой энергии расходуется на фазовые переходы, при этом в пористой среде реализуются гораздо большие значения давления.

Сравнение зависимостей автомоделных координат границы фазовых переходов и давлений на этих границах от мощности источника приведено на Рис. 4. Сплошные линии соответствуют случаю источника СВЧ излучения, штриховые - теплового источнику. Линии 1, 2 и 3 на Рис. 4. соответствуют различным исходным давлениям в пористой среде  $p_0 = 0.1, 1.0 \text{ и } 10 \text{ МПа}$ .

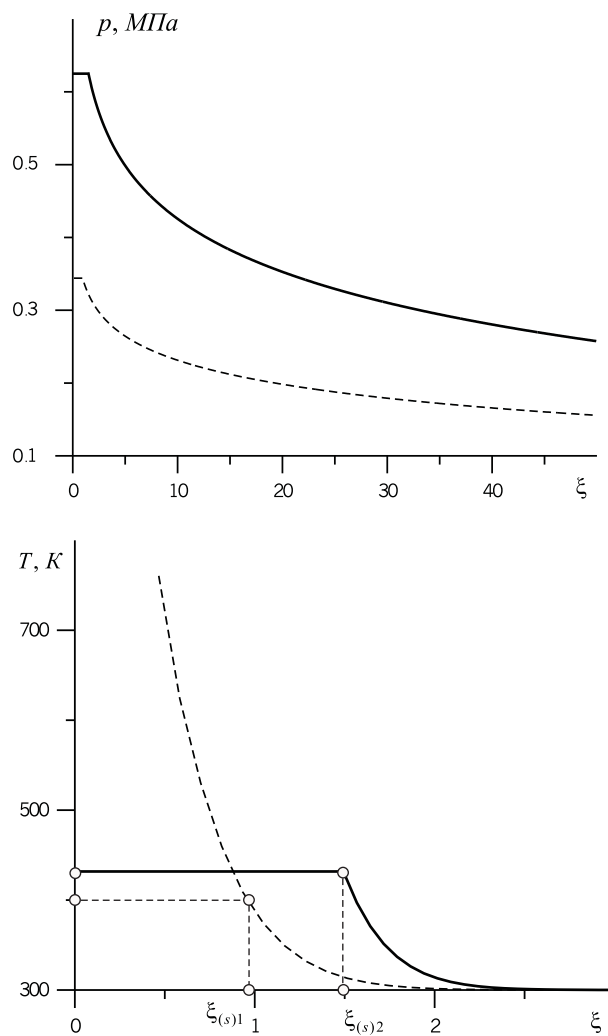


Рис. 3: Профили давления и температуры в случае теплового источника (штриховые линии) и источника СВЧ-излучения (сплошные линии)

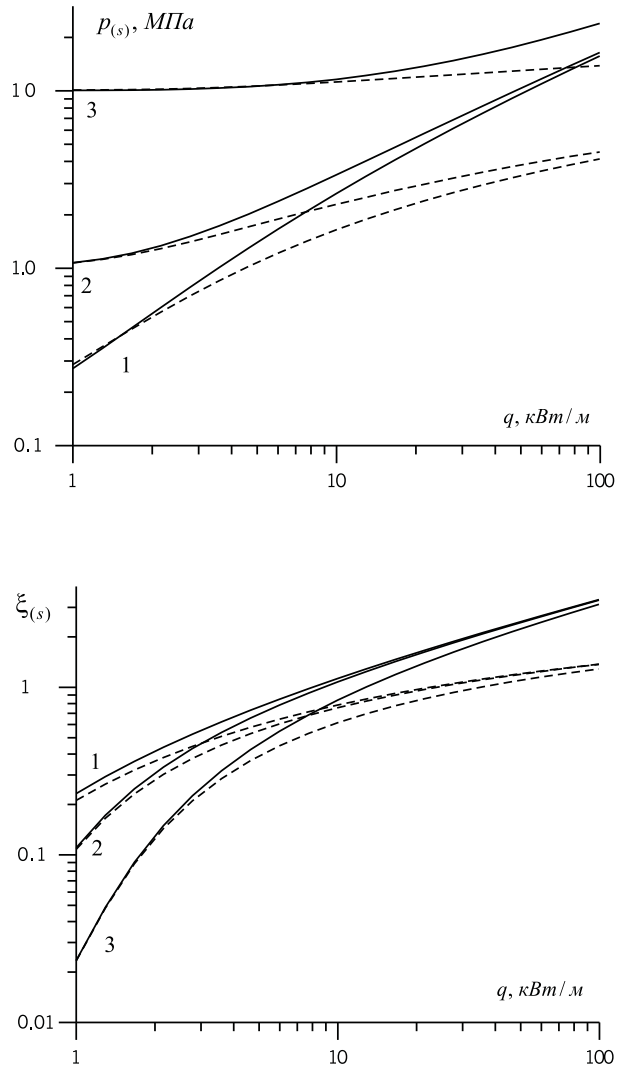


Рис. 4: зависимости автомодельных границ фазовых переходов и давления на этой границе от мощности теплового и СВЧ источника. Сплошные (штриховые) линии источник СВЧ (тепловой источник). Линия 1:  $p_0 = 0.1$  МПа, линия 2:  $p_0 = 1.0$  МПа, линия 3:  $p_0 = 10$  МПа

## 5 Заключение

На основе анализа решений задачи о СВЧ воздействии на пористую среду, насыщенную жидкостью показано, что непроницаемость границы среды в случае плоско-одномерной задачи может привести к значительному повышению давления в пористой среде. Показано, что по сравнению с термическим воздействием [3], в случае СВЧ источника происходит значительная интенсификация фильтрационных процессов. Это связано с тем, что при СВЧ воздействии основная часть подводимой энергии расходуется на фазовые переходы, при этом не происходит перегрева зоны, насыщенной паром.

## Список литературы

- [1] Нигматулин Р. И., Шагапов В. Ш., Насырова Л. А. «Тепловой удар» в пористой среде, насыщенной газогидратом // ДАН. 1999. Т. 366, № 3.
- [2] Ильясов У. Р. Тепловой удар в пористой среде, насыщенной жидкостью // Сб. тезисов ВНКСФ-8. Екатеринбург. 2002. С. 188–190.
- [3] Хабибуллин И. Л. Нелинейные эффекты при нагреве сред электромагнитным излучением // ИФЖ. 2000. Т. 73, № 4. С. 832–838.
- [4] Саяхов Ф. Л., Фатыхов М. А., Хабибуллин И. Л. О применении электромагнитной энергии для предупреждения и ликвидации гидратных отложений при добыче нефти и газа // В сб. «Нефть и газ Западной Сибири». Тез. докл. обл. научной-техн. конференции. Тюмень, 28-29 октября 1987 г. Тюмень, 1987. С. 99.
- [5] Карслоу Г.С., Егер Д. Теплопроводность твердых тел. М.: Наука, 1964. 487 с.